

A.F. OUTPUT PENTODE for single-ended push-pull output stages  
 PENTHODE DE SORTIE B.F. pour étages de sortie push-pull  
 sans transformateur  
 NF-ENDPENTODE für transformatorlose Gegentakt-Endstufen

Heating : indirect by A.C. or D.C.  
 parallel supply

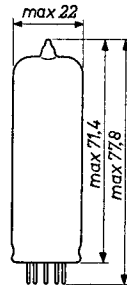
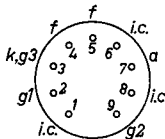
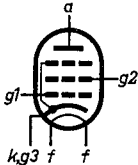
Chauffage: indirect par C.A. ou C.C.  
 alimentation parallèle

Heizung : indirekt durch Wechsel-  
 oder Gleichstrom; Paral-  
 lelspeisung

$V_f = 6,3$  V

$I_f = 760$  mA

Dimensions in mm  
 Dimensions en mm  
 Abmessungen in mm



Base, culot, Sockel: NOVAL

Capacitances  
 Capacités  
 Kapazitäten

$C_a$	=	6,0 pF
$C_{g1}$	=	12 pF
$C_{ag1}$	<	0,6 pF
$C_{g1f}$	<	0,25 pF

Typical characteristics  
 Caractéristiques types  
 Kenndaten

$V_a$	=	170 V
$V_{g2}$	=	170 V
$V_{g1}$	=	-12,5 V
$I_a$	=	70 mA
$I_{g2}$	=	5 mA
$S$	=	10 mA/V
$\mu_{g2g1}$	=	8
$R_1$	=	23 kΩ

→ A.F. OUTPUT PENTODE or FRAME OUTPUT PENTODE, designed for supply voltages of about 200 volts  
 PENTHODE DE SORTIE B.F. ou PENTODE DE SORTIE POUR LE BALAYAGE D'IMAGE conçu pour des tensions d'alimentation de 200 volt environ  
 NF-ENDPENTODE oder ENDPENTODE FÜR DIE VERTIKALE ABLENKUNG geplant für die Verwendung mit Speisespannungen von etwa 200 Volt

Heating : indirect by A.C. or D.C.  
 parallel supply

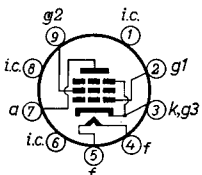
Chauffage: indirect par C.A. ou C.C.  
 alimentation parallèle

Heizung : indirekt durch Wechsel-  
 oder Gleichstrom; Paral-  
 leleispeisung

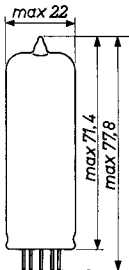
$$V_f = 6,3 \text{ V}$$

$$I_f = 760 \text{ mA}$$

Dimensions in mm  
 Dimensions en mm  
 Abmessungen in mm



Base, culot, Sockel: NOVAL



→ Capacitances	$C_a$	=	6,8 pF
Capacités	$C_{g1}$	=	13 pF
Kapazitäten	$C_{ag1}$	<	0,6 pF
	$C_{g1f}$	<	0,25 pF

→ Typical characteristics	$V_a$	=	170 V
Caractéristiques types	$V_{g2}$	=	170 V
Kenndaten	$V_{g1}$	=	-12,5 V
	$I_a$	=	70 mA
	$I_{g2}$	=	3,5 mA
	$S$	=	11 mA/V
	$\mu_{g2g1}$	=	8
	$R_1$	=	26 kΩ

Operating characteristics, one tube  
 Caractéristiques d'utilisation, un tube  
 Betriebsdaten, eine Röhre

$V_a$	=	170	V
$V_{g2}$	=	170	V
$V_{g1}$	=	-12,5	V
$R_a$	=	2,4	kΩ
$V_i$	=	0 0,5 7,0	Veff
$I_a$	=	70 -	70 mA
$I_{g2}$	=	5 -	22 mA
$W_o$	=	- 0,05	5,6 W
$d_{tot}$	=	- . -	10 %

Operating characteristics for single ended push-pull output stages. Single tone (see fig. on page 3)  
 Caractéristiques d'utilisation pour étages de sortie push-pull sans transformateur. Signal monofréquence (voir la fig. sur page 3)

Betriebsdaten für transformatorlose Gegentakt-Endstufen  
 Einzelton-Aussteuerung (siehe Abb. auf Seite 3)

$V_b$	=	300	V
$R_a$	=	1	kΩ
$V_i$	=	0 0,55	Veff
$I_b$	=	69 -	67 mA
$W_o$	=	- 0,05	4,8 W
$d_{tot}$	=	- -	9,3 %

Operating characteristics for single ended push-pull output stages. Double tone (see fig. on p. 3 and remark on p. 4)  
 Caractéristiques d'utilisation pour étages de sortie push-pull sans transformateur. Signal difréquence (voir la fig. sur page 3 et l'observation sur page 4)

Betriebsdaten für transformatorlose Gegentakt-Endstufen  
 Zweiton-Aussteuerung (siehe Abb. auf Seite 3 und Bemerkung auf Seite 4)

$V_b$	=	300	V
$R_a$	=	1	kΩ
$V_i$	=	0	2,85 Veff
$I_b$	=	69	67 mA
$W_o$	=	-	5,9 W
$d_{tot}$	=	-	8,5 %

<sup>1</sup>) RMS voltage of each tone separately  
 Tension efficace de chaque de deux signaux  
 Effektivwert je der beiden Töne

→ Operating characteristics, class A, one tube  
 Caractéristiques d'utilisation, classe A, un tube  
 Betriebsdaten, Klasse A, eine Röhre

$V_b$	=	200	V
$R_{g2}$	=	470	$\Omega$ <sup>1)</sup>
$R_k$	=	215	$\Omega$ <sup>2)</sup>
$R_{a\sim}$	=	2,5	k $\Omega$
$V_i$	=	0 0,52	7,0 V <sub>eff</sub>
$I_a$	=	65	- 64 mA
$I_{g2}$	=	3,2	- 11,4 mA
$W_o$	=	0 0,05	5,3 W
$d_{tot}$	=	- -	10 %

→ Operating characteristics, class AB, two tubes  
 Caractéristiques d'utilisation, classe AB, deux tubes  
 Betriebsdaten, Klasse AB, zwei Röhren

$V_{ba}$	=	250	V
$V_{bg2}$	=	200	V
$R_k$	=	150	$\Omega$ <sup>3)</sup>
$R_{aa\sim}$	=	5,5	k $\Omega$
$V_i$	=	0 0,37	13,0 V <sub>eff</sub>
$I_a$	=	2x50	- 2x55 mA
$I_{g2}$	=	2x2,0	- 2x13 mA
$W_o$	=	0 0,05	18,5 W
$d_{tot}$	=	- -	4,5 %

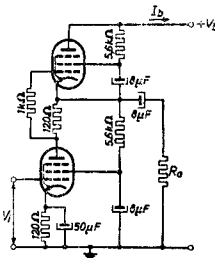
<sup>1)</sup> Not bypassed  
 Non découplée  
 Nicht entkoppelt

<sup>2)</sup> During measurement  $V_k$  is kept constant  
 Pendant la mesure  $V_k$  est tenue constante  
 Während der Messung wird  $V_k$  konstant gehalten

<sup>3)</sup> Common cathode resistor  
 Résistance cathodique commune  
 Gemeinsamer Katodenwiderstand

Limiting values  
Caractéristiques limites  
Grenzdaten

$V_{ao}$	= max.	550 V
$V_a$	= max.	250 V
$W_a$	= max.	12 W
$V_{g2o}$	= max.	550 V
$V_{g2}$	= max.	200 V
$W_{g2}$	= max.	1,75 W
$W_{g2p}$	= max.	6 W
$I_k$	= max.	100 mA
$R_{g1}$	= max.	$1 \text{ M}\Omega^2)$
$V_{kfp}(\text{k pos.; f neg.})$	= max.	300 V <sup>3)</sup>
$V_{kfr}(\text{k neg.; f pos.})$	= max.	100 V
$R_{kf}$	= max.	20 k $\Omega$



<sup>2)</sup>Automatic bias  
Polarisation automatique  
Automatischer Gittervorspannung

<sup>3)</sup>D.C. component max. 150 V  
La composante C.C. 150 V au max.  
Gleichspannungsanteil max. 150 V

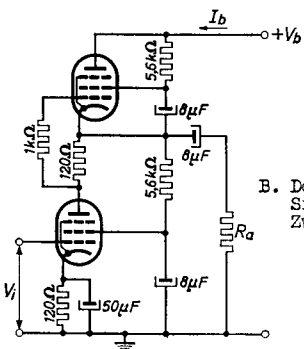
Operating characteristics for single-ended push-pull output stage

Caractéristiques d'utilisation pour étage de sortie push-pull sans transformateur

Betriebsdaten für transformatorlose Gegentakt-Endstufe

A. Single tone input signal

Signal d'entrée à une fréquence  
Einzelton-Aussteuerung



$$V_b = 300 \text{ V}$$

$$R_{a\sim} = 1 \text{ k}\Omega$$

$$V_i = 0 \quad 0,41 \quad 5,4 \text{ V}_{\text{eff}}$$

$$I_b = 66 \quad - \quad 64 \text{ mA}$$

$$W_o = 0 \quad 0,05 \quad 4,5 \text{ W}$$

$$d_{\text{tot}} = - \quad - \quad 9,3 \%$$

B. Double tone input signal

Signal d'entrée à deux fréquences  
Zweiton-Aussteuerung

$$V_b = 300 \text{ V}$$

$$R_{a\sim} = 1 \text{ k}\Omega$$

$$V_i = 0 \quad 0 \quad 2,7 \text{ V}_{\text{eff}}^1)$$

$$I_b = 66 \quad 64 \text{ mA}$$

$$W_o = 0 \quad 0 \quad 5,5 \text{ W}$$

$$d_{\text{tot}} = - \quad - \quad 8,5 \%$$

Remark

Single tone data are obtained with a pure sinusoidal input voltage. However such an input voltage is in general not representative for the reproduction of music and speech, since a purely sinusoidal tone seldom occurs.

The double tone data are obtained with two sinusoidal signals of different frequencies but of the same amplitude. This appears to be far better in agreement with practice. In the case of full drive with two sinusoidal signals different in frequency but having the same amplitude, the output power is half the value obtained at full drive with a single sinusoidal input voltage of twice this amplitude. To make comparison possible the obtained output power with double tone has therefore been multiplied by 2.

Observation. Voir page 4

Bemerkung. Siehe Seite 4

<sup>1)</sup> RMS value of each tone separately

Valeur efficace de chaque fréquence séparément  
Effektivwert jedes einzelnen Tons

Remark

Single tone data are obtained with a pure sinusoidal input voltage. However such an input voltage is in general not representative for the reproduction of music and speech, since a purely sinusoidal tone seldom occurs.

The double tone data are obtained with two sinusoidal signals of different frequencies but of the same amplitude. This appears to be far better in agreement with practice. In the case of full drive with two sinusoidal signals different in frequency but having the same amplitude, the output power is half the value obtained at full drive with a single sinusoidal input voltage of twice this amplitude. To make comparison possible the obtained output power with double tone is therefore multiplied by 2.

Observation

Les données des mesures avec une seule fréquence sont obtenues avec une tension d'entrée sinusoïdale pure. Cependant, un tel signal d'entrée n'est en général pas représentatif pour la reproduction de la musique et de la parole, car un signal purement sinusoïdal se produit rarement.

Les données des mesures avec deux fréquences sont obtenues avec deux signaux sinusoïdaux de fréquences différentes mais de même amplitude. Ceci semble être plus conforme à la pratique.

Dans le cas de modulation complète avec deux signaux sinusoïdaux de fréquences différentes, mais de même amplitude, la puissance de sortie est égale à la moitié de la valeur obtenue à modulation complète avec un signal d'entrée avec la double amplitude. Pour rendre possible une comparaison, la puissance de sortie obtenue avec le signal double fréquence est donc multipliée par 2.

Bemerkung

Bei Messungen mit einer Frequenz wird eine rein sinusoïdalen Spannung an den Eingang gegeben. Eine derartige Eingangsspannung bildet aber im allgemeinen kein äquivalent für die Wiedergabe von Sprache und Musik, da reine Sinus-Schwingungen selten vorkommen.

Bei Messungen mit zwei Frequenzen werden zwei sinusoïdalen Signale mit verschiedener Frequenz aber gleicher Amplitude an den Eingang gegeben. Hiermit kommt man den tatsächlichen Verhältnissen weitaus näher.

Bei Vollaussteuerung mit zwei sinusoïdalen Signalen verschiedener Frequenz aber gleicher Amplitude ist die Ausgangsleistung halb so gross wie bei Vollaussteuerung mit einer sinusoïdalen Spannung doppelter Amplitude.

Um einen Vergleich zu ermöglichen, ist die mit zwei Frequenzen gemessene Ausgangsleistung mit dem Faktor zwei multipliziert.

Observation

Les données des mesures avec une seule fréquence sont obtenues avec une tension d'entrée sinusoïdale pure. Cependant, un tel signal d'entrée n'est en général pas représentatif pour la reproduction de la musique et de la parole, car un signal purement sinusoïdal se produit rarement.

Les données des mesures avec deux fréquences sont obtenues avec deux signaux sinusoïdaux de fréquences différentes mais de même amplitude. Ceci semble être plus conforme à la pratique.

Dans le cas de modulation complète avec deux signaux sinusoïdaux de fréquences différentes, mais de même amplitude, la puissance de sortie est égale à la moitié de la valeur obtenue à modulation complète avec un signal d'entrée sinusoïdal avec la double amplitude. Pour rendre possible une comparaison, la puissance de sortie obtenue avec le signal à deux fréquences a été multipliée par 2.

Bemerkung

Bei Messungen mit einer Frequenz wird eine rein sinusoïdale Spannung an den Eingang gegeben. Eine derartige Eingangsspannung bildet aber im allgemeinen kein Äquivalent für die Wiedergabe von Sprache und Musik, da reine Sinusschwingungen selten vorkommen.

Bei Messungen mit zwei Frequenzen werden zwei sinusoïdale Signale mit verschiedener Frequenz aber gleicher Amplitude an den Eingang gegeben. Hiermit kommt man den tatsächlichen Verhältnissen weitaus näher.

Bei Vollaussteuerung mit zwei sinusoïdalen Signalen verschiedener Frequenz aber gleicher Amplitude ist die Ausgangsleistung halb so gross wie bei Vollaussteuerung mit einer sinusoïdalen Spannung doppelter Amplitude. Um einen Vergleich zu ermöglichen, ist die mit zwei Frequenzen gemessene Ausgangsleistung mit dem Faktor zwei multipliziert worden.

Optimum peak anode current in frame output application  
 Courant anodique de crête optimum pour l'application comme tube de sortie pour le balayage image  
 Höchstwert des Anodenspitzenstromes bei Verwendung als Endröhre für die vertikale Ablenkung

The circuit should be designed so that  $I_{ap}$  does not exceed the following values:

Le circuit doit être conçu de telle manière que  $I_{ap}$  ne dépasse pas les valeurs suivantes:

Die Schaltung soll so entworfen werden, dass  $I_{ap}$  die folgenden Werte nicht überschreitet:

$$\left. \begin{array}{l} 145 \text{ mA} \\ 190 \text{ mA} \\ 220 \text{ mA} \end{array} \right\} \text{at } \left\{ \begin{array}{l} V_a = 60 \text{ V}, V_{g2} = 170 \text{ V}, V_f = 6,3 \text{ V} \\ V_a = 70 \text{ V}, V_{g2} = 200 \text{ V}, V_f = 6,3 \text{ V} \\ V_a = 80 \text{ V}, V_{g2} = 220 \text{ V}, V_f = 6,3 \text{ V} \end{array} \right.$$

See also page 5; voir aussi page 5; siehe auch Seite 5

The minimum available value of  $I_{ap}$  at end of life and  $V_f = 5.7$  V is:

La valeur minimum disponible de  $I_{ap}$  à la fin de la durée et à  $V_f = 5,7$  V est de:

Der minimal verfügbare Wert von  $I_{ap}$  am Ende der Lebensdauer und bei  $V_f = 5,7$  V ist:

$$\left. \begin{array}{l} 125 \text{ mA} \\ 160 \text{ mA} \\ 185 \text{ mA} \end{array} \right\} \text{at} \left\{ \begin{array}{l} V_a = 60 \text{ V}, V_{g2} = 170 \text{ V} \\ V_a = 70 \text{ V}, V_{g2} = 200 \text{ V} \\ V_a = 80 \text{ V}, V_{g2} = 220 \text{ V} \end{array} \right.$$

→ Limiting values

Caractéristiques limites

Grenzdaten

$V_{ao}$	= max.	550 V	$W_{g2}$	= max.	1,75 W
$V_a$	= max.	250 V	$W_{g2p}$	= max.	6 W
$V_{ap}$	= max.	2 kV <sup>1)</sup>	$I_k$	= max.	100 mA
$W_a$	= max.	12 W <sup>2)</sup>	$R_{g1}$	= max.	1 MΩ <sup>3)</sup>
$V_{g2o}$	= max.	550 V	$R_{g1}$	= max.	2 MΩ <sup>4)</sup>
$V_{g2}$	= max.	250 V	$V_{kf}$	= max.	200 V
			$R_{kf}$	= max.	20 kΩ

<sup>1)</sup> Max. pulse duration 4% of a cycle with a maximum of 0.8 msec

Durée de l'impulsion 4% d'une période au max., avec un maximum de 0,8 msec

Max. Impulsdauer 4% einer Periode, mit einem Maximum von 0,8 mSek

<sup>2)</sup> For frame output application  $W_a = \text{max. } 10 \text{ W}$   
Pour application comme tube de sortie du balayage image  
 $W_a = 10 \text{ W}$  au max.

Bei Verwendung als Endröhre für die vertikale Ablenkung ist  $W_a = \text{max. } 10 \text{ W}$

<sup>3)</sup> Automatic bias  
Polarisation automatique  
Automatische Gittervorspannung

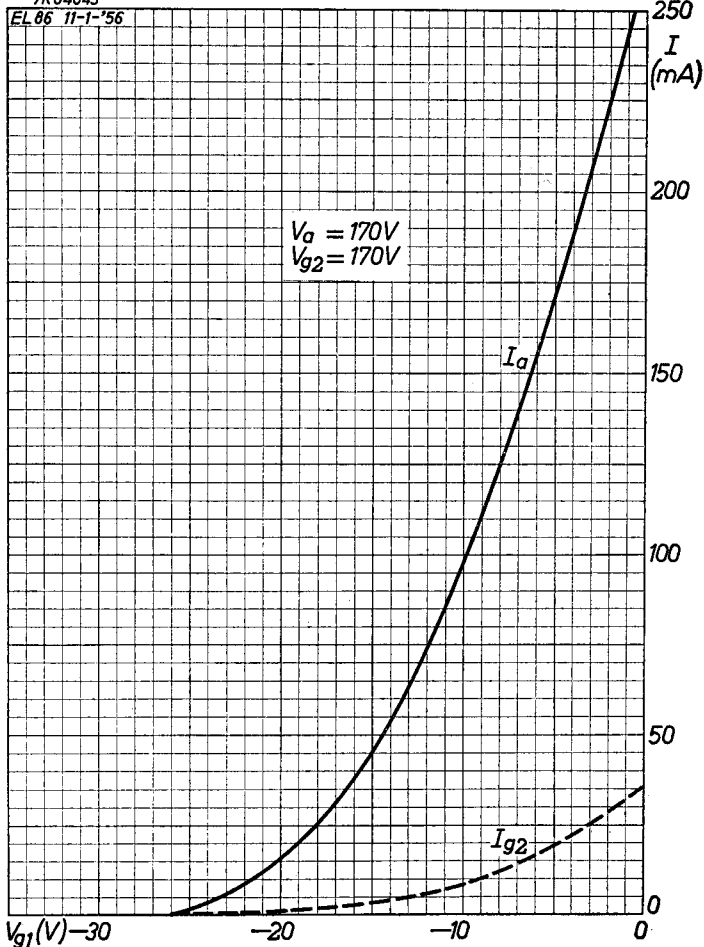
<sup>4)</sup> In frame output application only, combined with automatic bias  
Seulement pour l'application comme tube de sortie pour le balayage image, en combinaison avec polarisation automatique  
Nur für die Verwendung als Endröhre für die vertikale Ablenkung, zusammen mit automatischer Gittervorspannung

# PHILIPS

# EL 86

7R04843

EL 86 11-1-'56



1.1.1956

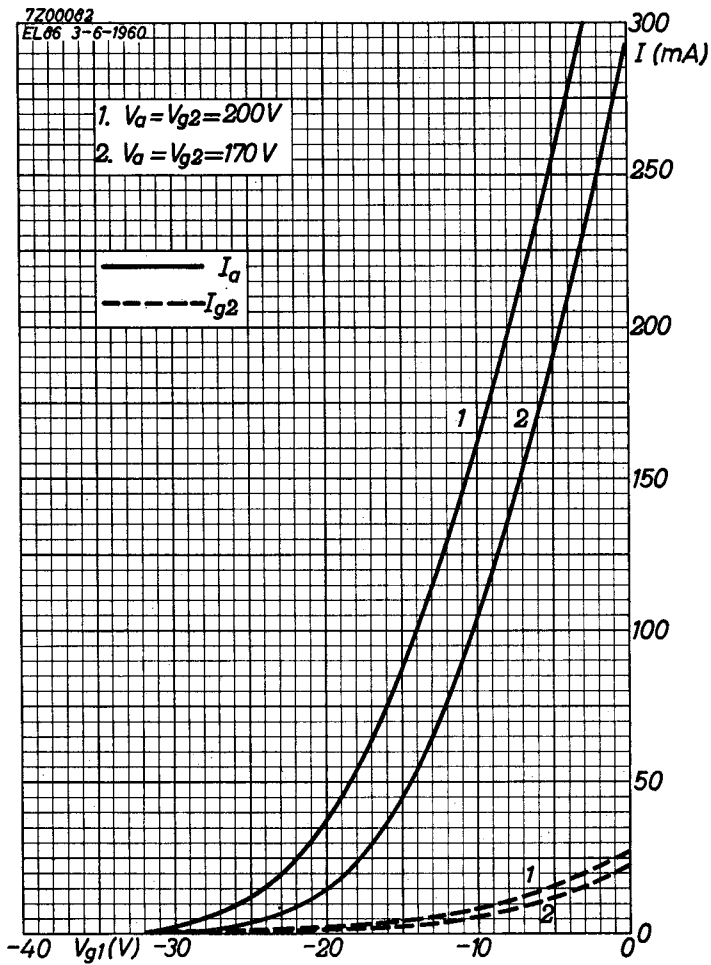
A

# PHILIPS

## EL 86

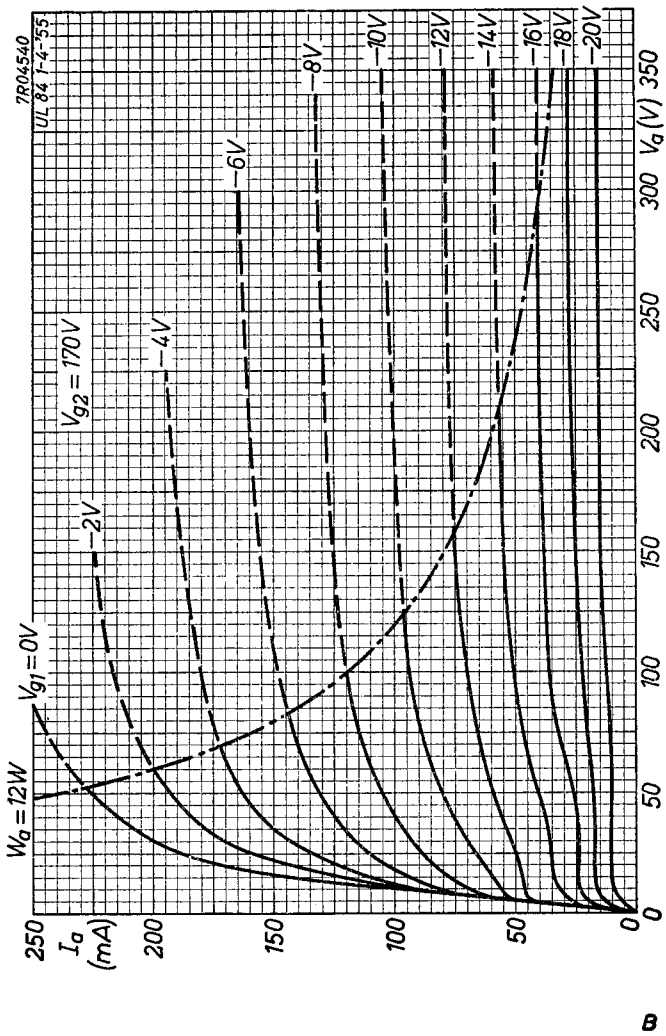
7Z00062

EL86 3-6-1960



**EL 86**

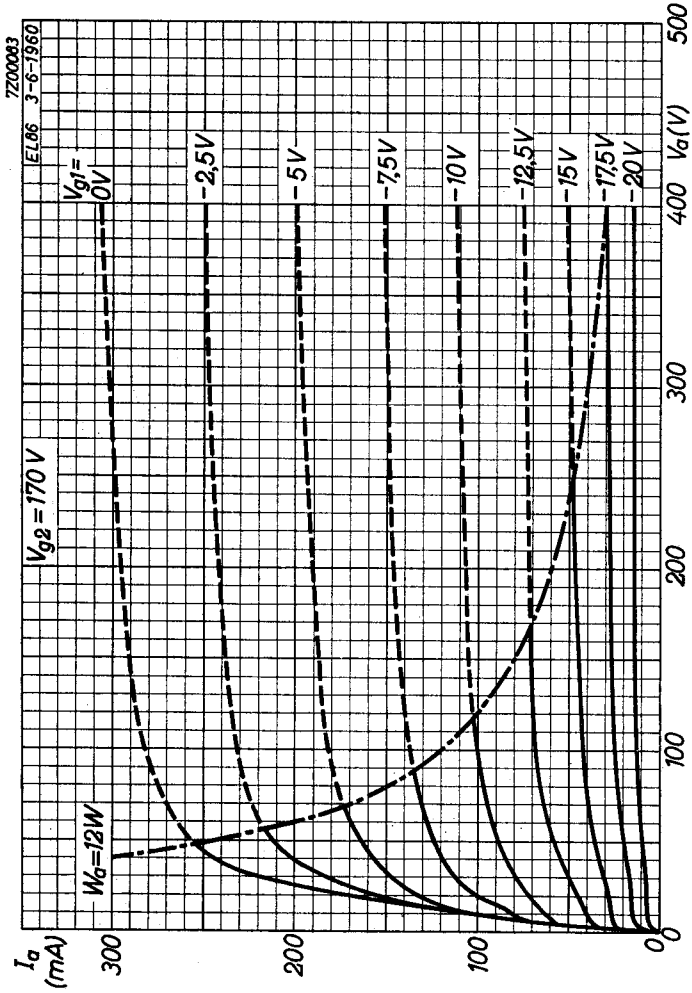
**PHILIPS**



**EL 86**

**PHILIPS**

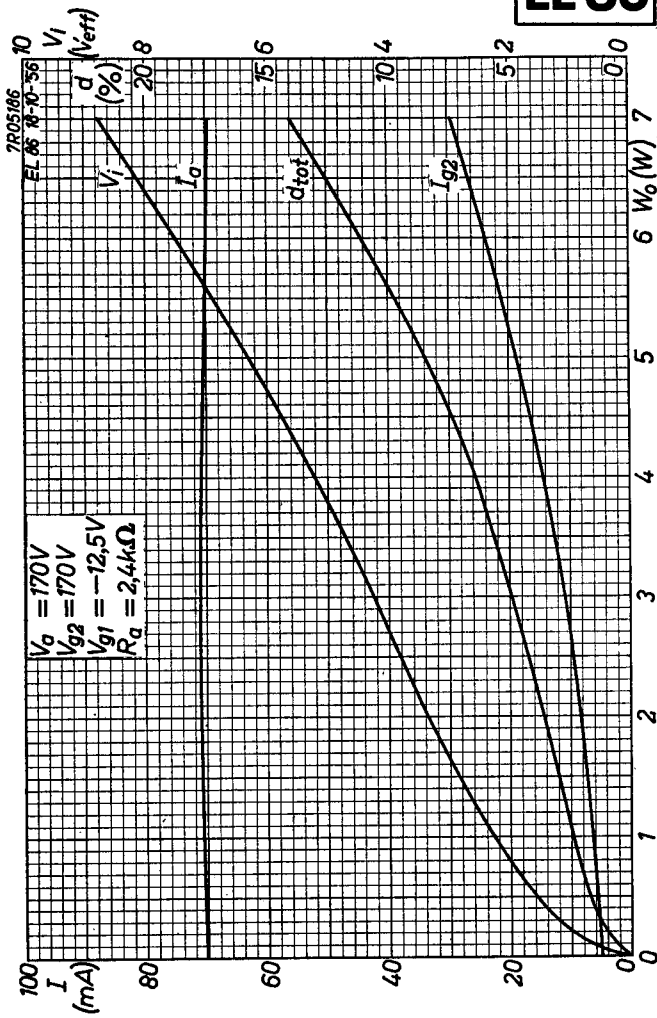
7200063



B

**PHILIPS**

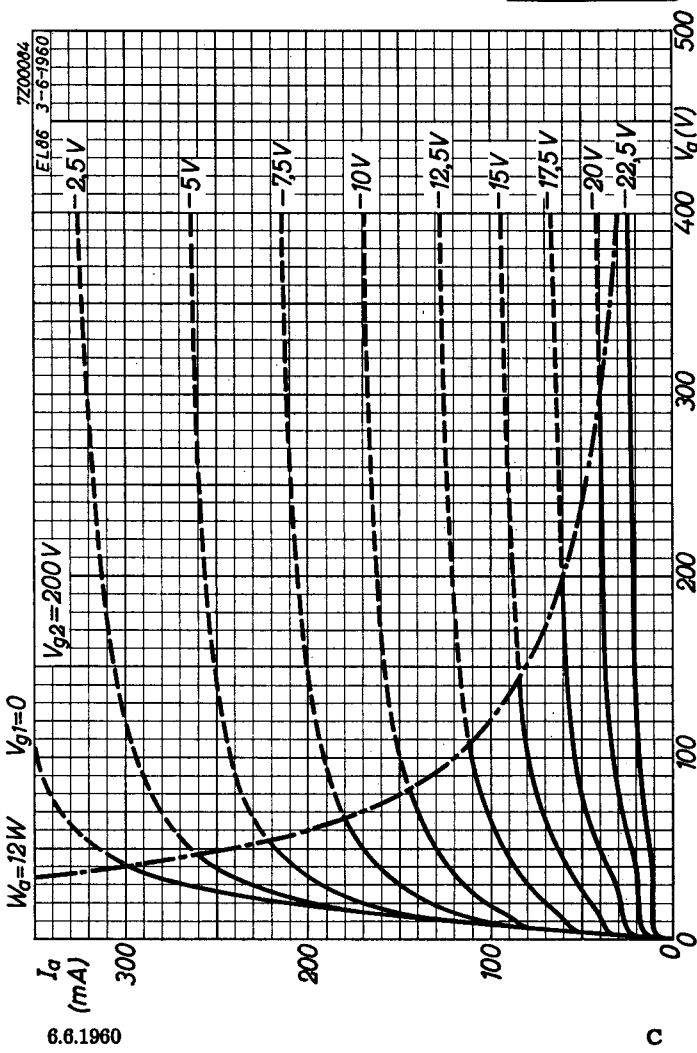
EL 86



10.10.1956

**PHILIPS**

EL 86

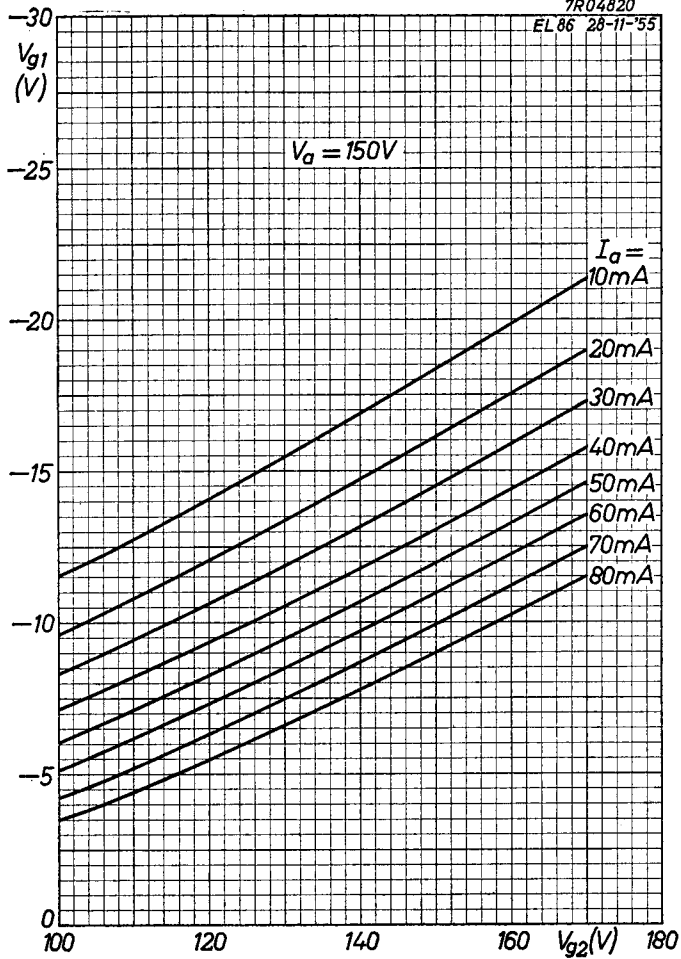


**EL 86**

**PHILIPS**

7R04820

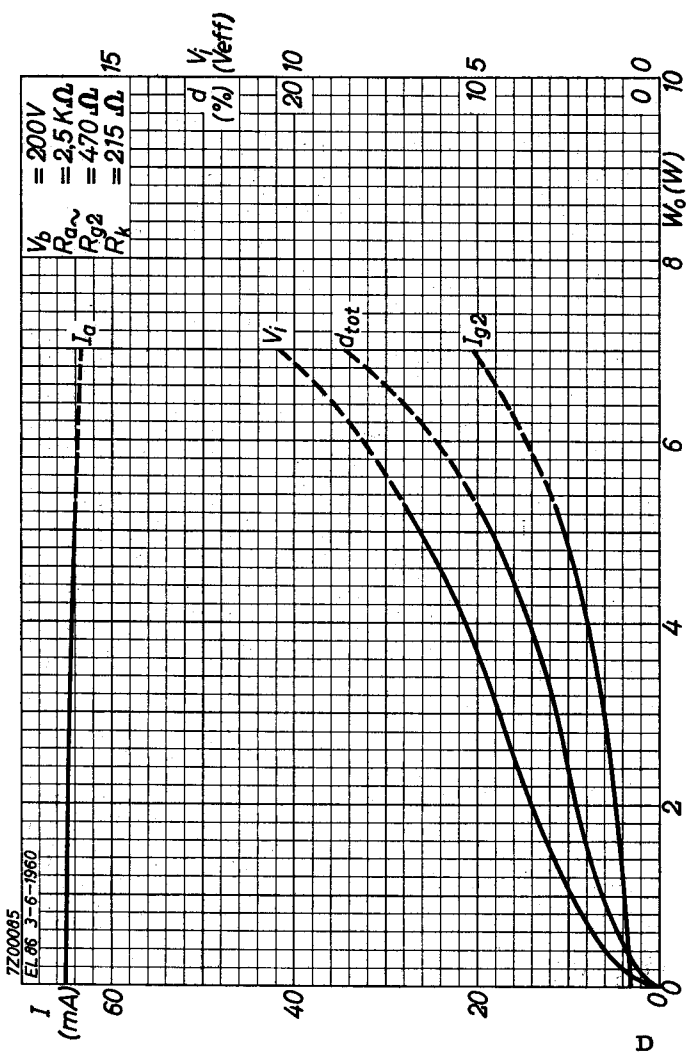
EL 86 28-11-'55



D

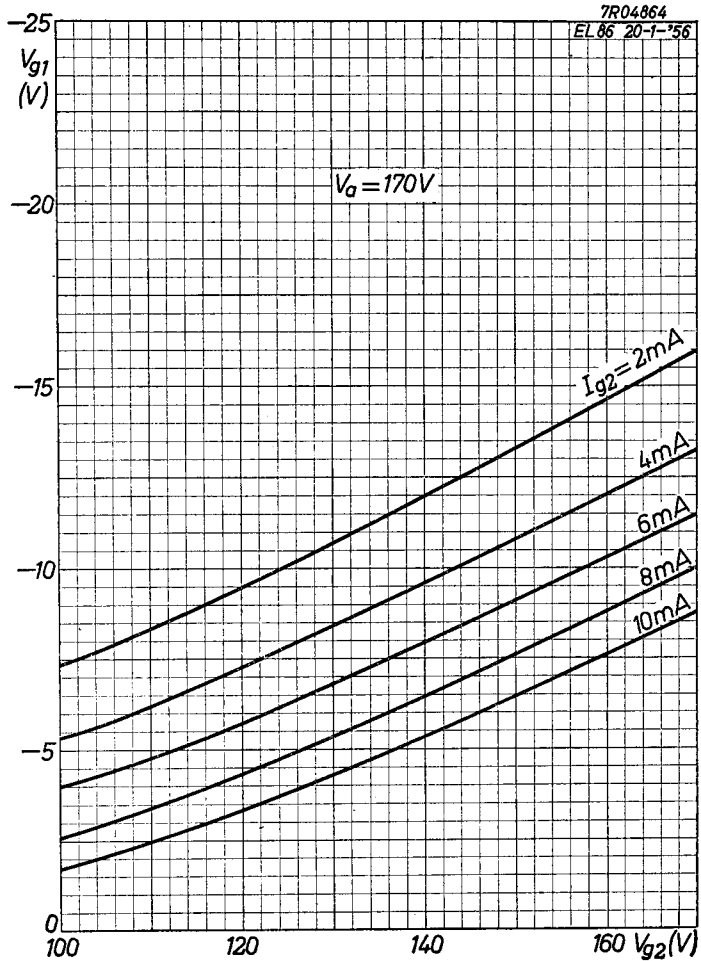
**EL 86**

**PHILIPS**



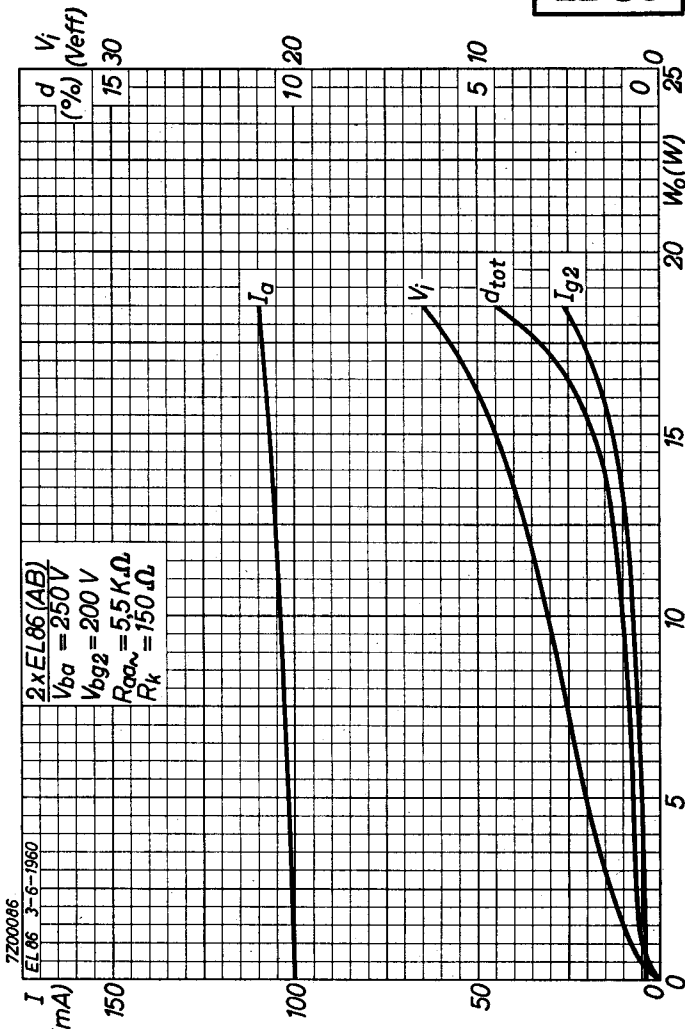
# PHILIPS

# EL 86



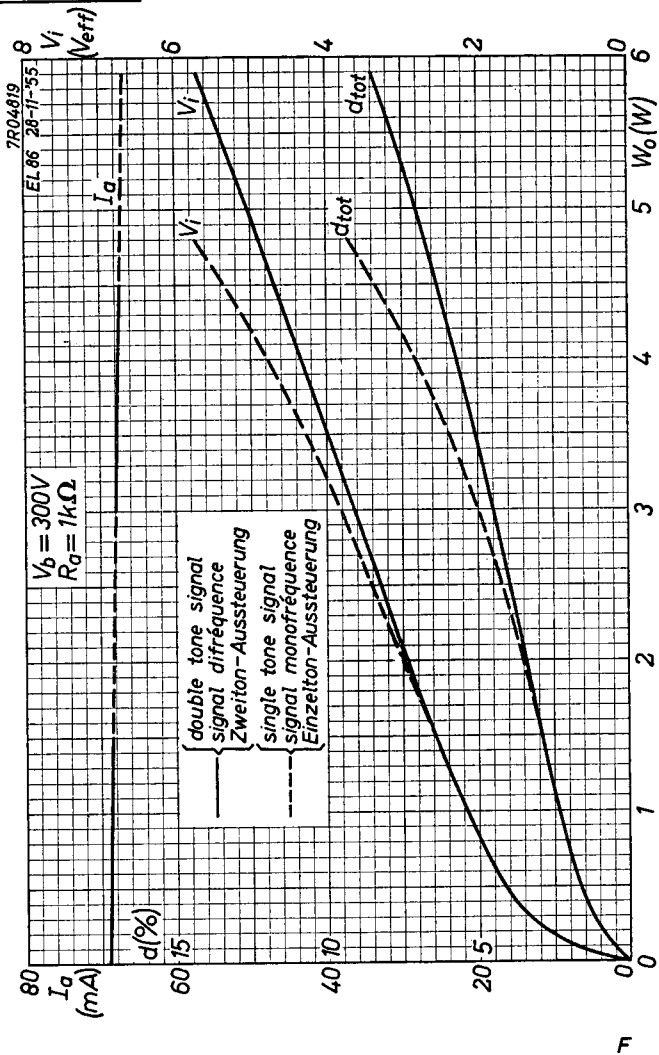
# PHILIPS

## EL 86



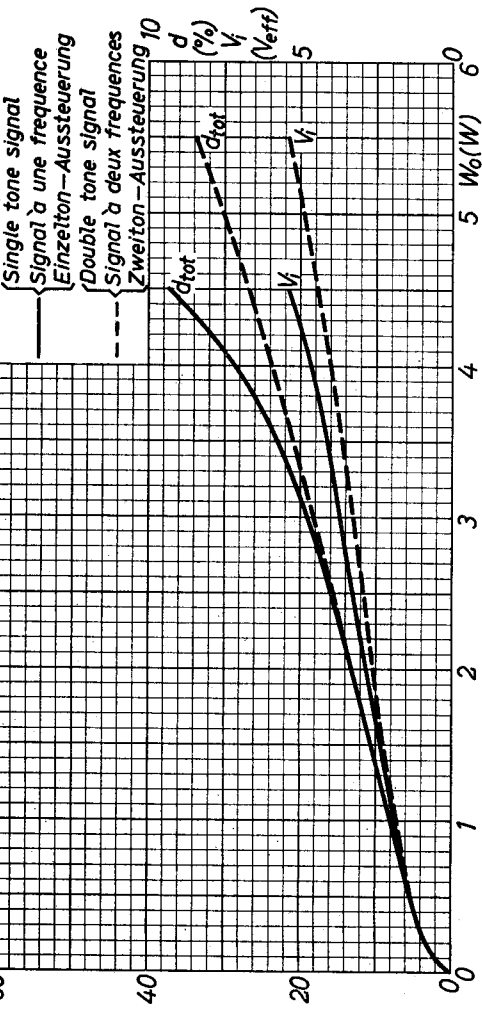
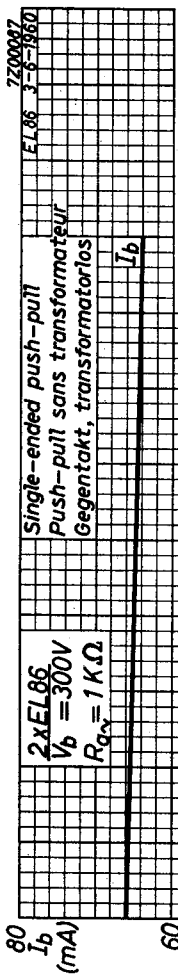
**EL 86**

**PHILIPS**



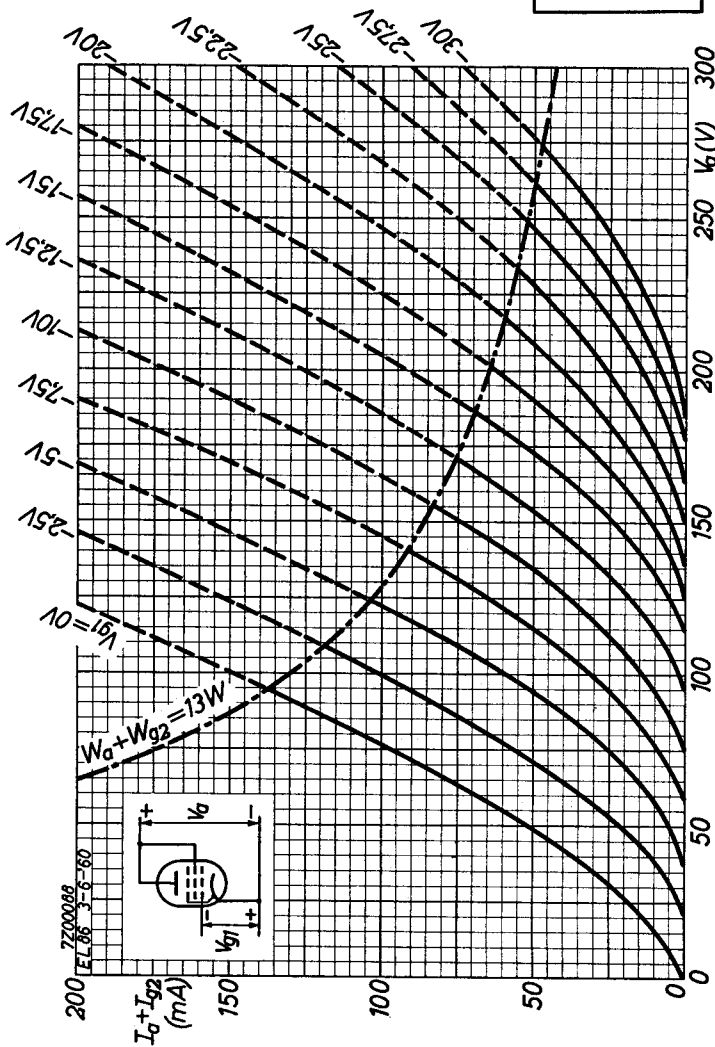
**EL 86**

**PHILIPS**



# PHILIPS

## EL 86



**PHILIPS**

*Electronic*  
*Tube*

**HANDBOOK**

**EL86**

<b>page</b>	<b>sheet</b>	<b>date</b>
1	1	1957.03.03
2	1	1960.06.06
3	2	1957.03.03
4	2	1960.06.06
5	3	1957.03.03
6	3	1960.06.06
7	4	1957.03.03
8	4	1960.06.06
9	5	1960.06.06
10	A	1956.01.01
11	A	1960.06.06
12	B	1956.01.01
13	B	1960.06.06
14	C	1956.01.01
15	C	1960.06.06
16	D	1956.01.01
17	D	1960.06.06
18	E	1956.01.01
19	E	1960.06.06

20	F	1956.01.01
21	F	1960.06.06
22	G	1960.06.06
23, 24	FP	2005.05.06